CLASE 3. Propiedades mecánicas

Parte 2

Agenda

- CLASE 17/03.
 - Introducción a la reología
 - Reología de alimentos fluidos
 - Viscoelasticidad
- CLASE 24/03
 - Reología de sólidos
 - Ejemplos de métodos no destructivos
 - Introducción al laboratorio

Reología de sólidos

Conceptos generales

Reología de alimentos sólidos

Qué propiedades mecánicas nos interesa conocer de los alimentos sólidos?

- Elasticidad
- Falla
- Transición vítrea







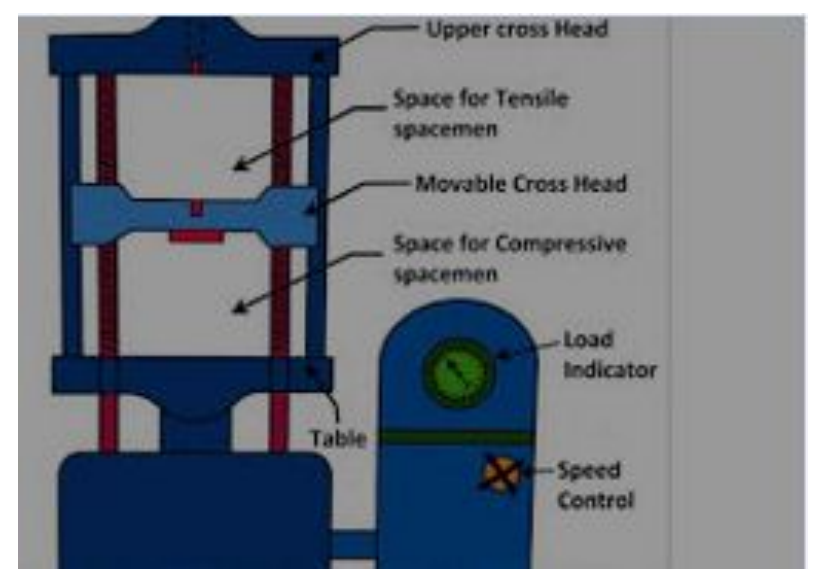
Cuál es la motivación?



- Control de calidad
- Diseño de procesos
- Empacado
- Procesamiento
- Almacenado
- ...

Máquinas universales

- Velocidad constante impuesta
- Monitoreo de fuerza vs. deformación



Máquinas universales







Formas más comunes de operación

- Compresión: El movimiento es hacia abajo (incluímos aquí penetración y doblado)
- Tensión: El movimiento es hacia arriba
- Relajación: Extensión o compresión fijas
- Carga cíclica

Materiales a los que generalmente se les hace ensayos mecánicos

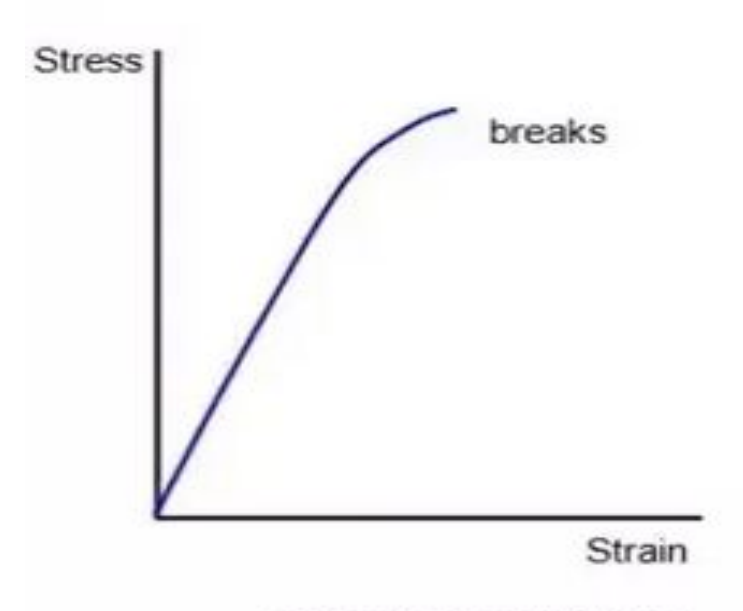
- Compresión

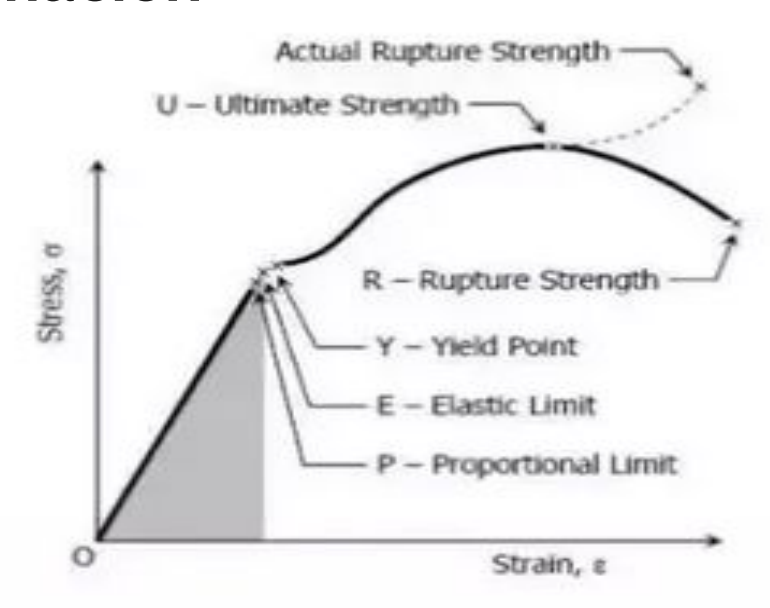


- Tensión



Curvas de esfuerzo-deformación





BRITTLE MATERIAL

DUCTILE MATERIAL

Tensión en alimentos: problemas de agarre





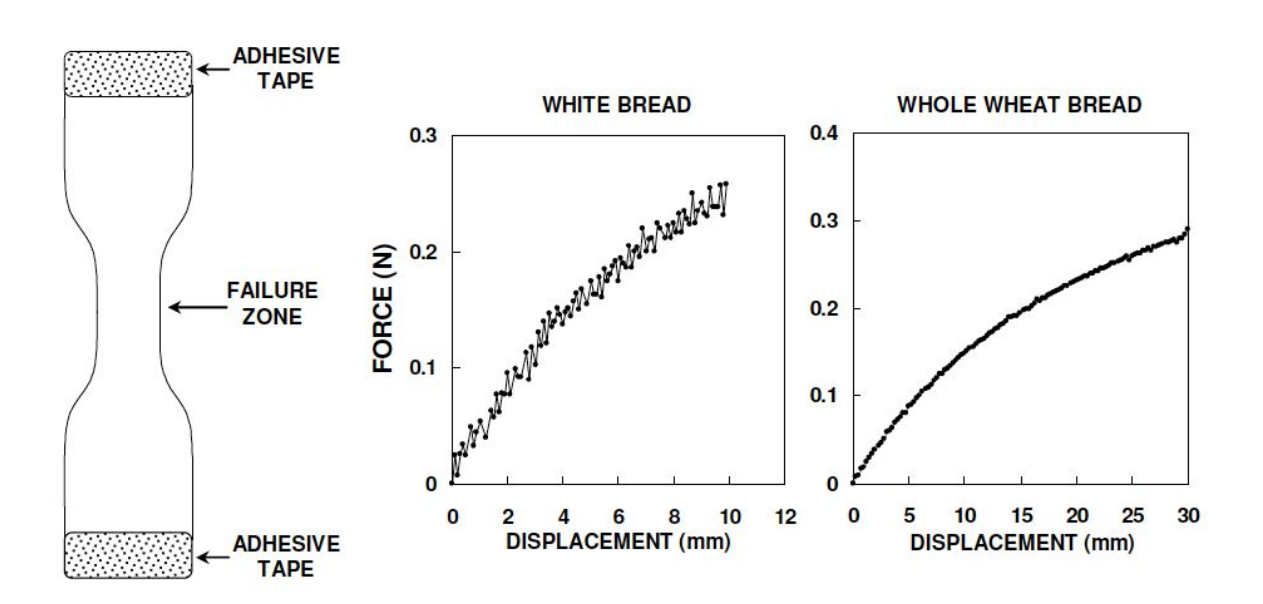






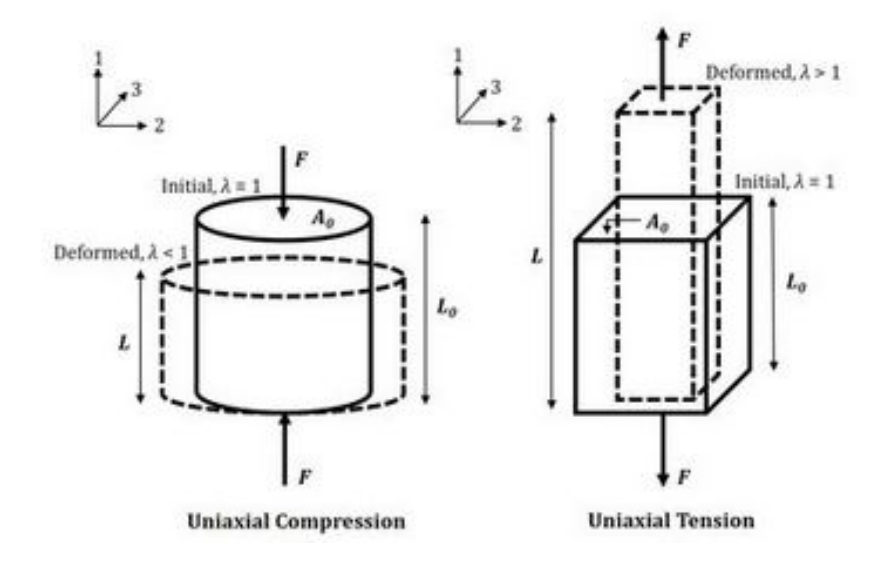


Ejemplo: miga de pan



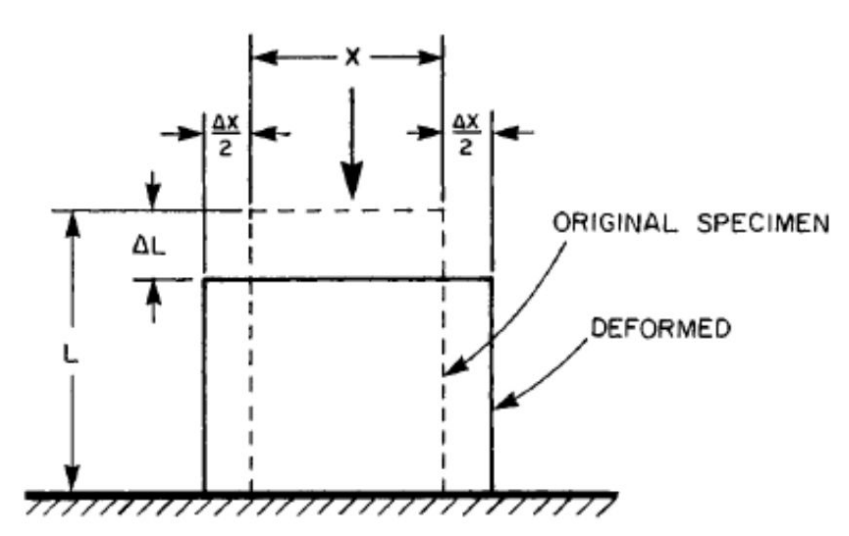
Muestra incompresible en compresión y tensión uniaxial

- En deformaciones grandes (>20%)
- Esfuerzo: Fuerza momentánea/Área de aplicación momentánea
- Deformación: Tiene distintas definiciones

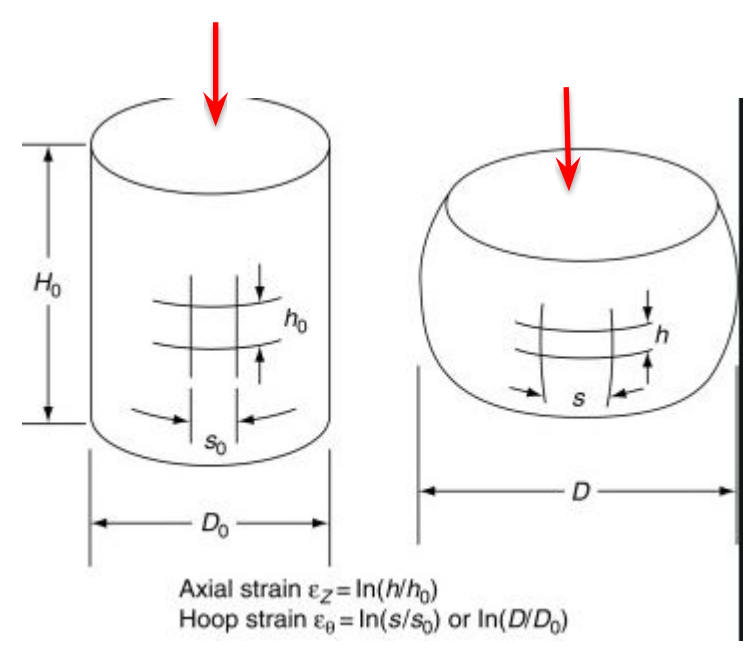


Radio de Poisson





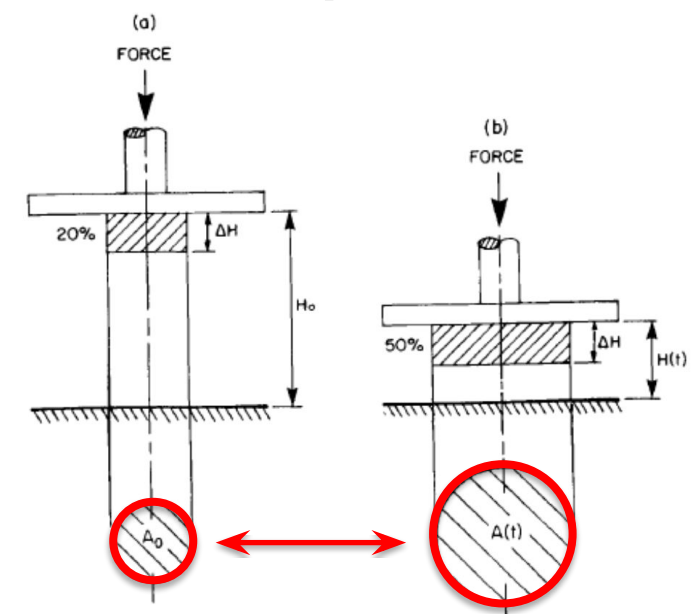
Lubricación y fricción



Muestra cilíndrica en compresión (lubricada)

Expansión del área transversal

 Esfuerzo: Fuerza momentánea/Área de aplicación momentánea



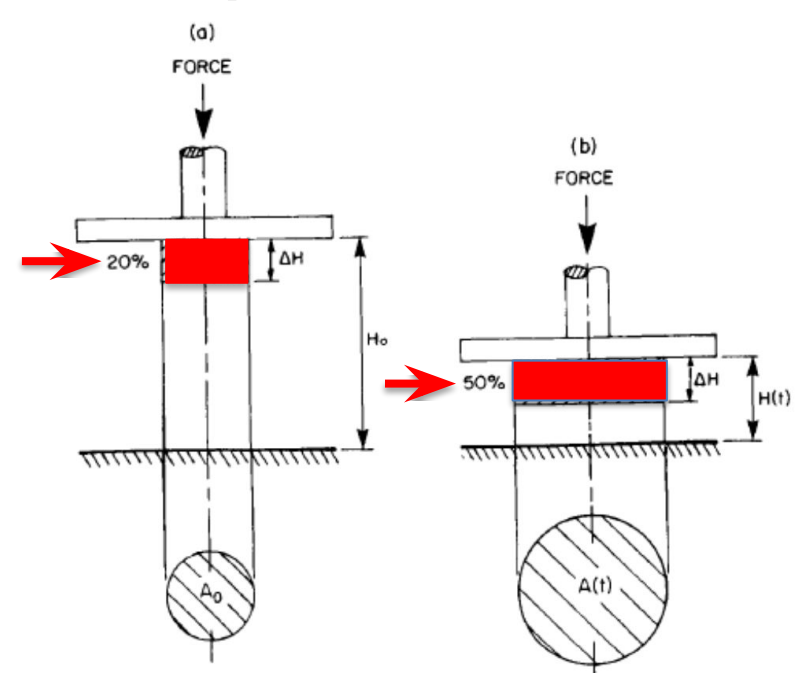
Cálculo del área transversal (muestras incompresibles)

$$Volume = H_0A_0 = [H_0 - \Delta H(t)]A(t)$$

$$A(t) = \frac{A_0 H_0}{H_0 - \Delta H(t)}$$

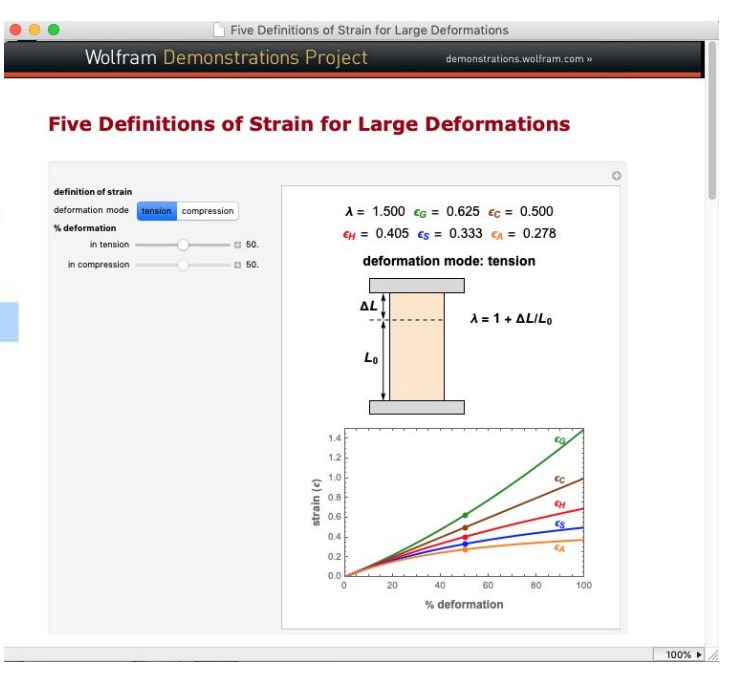
Muestra cilíndrica en compresión (lubricada)

 Igual deformación absoluta pero distinta deformación relativa!



Deformación en grandes deformaciones

and the percent deformation of specimens subjected to uniaxial tension and compression. The percent deformation is selected with a slider and the corresponding strain values are displayed numerically and as moving dots on curves. Also shown is the ratio, λ , between the length of the stretched or compressed specimen, $L_0 \pm \Delta L$ and L_0 , where L_0 is the initial length and ΔL the absolute deformation in length units. The strain definitions are: Cauchy's strain, $\epsilon_C = \lambda - 1$, Hencky's, $\epsilon_H = \log(\lambda)$, Green's, $\epsilon_G = (\lambda^2 - 1)/2$, Swainger's, $\epsilon_S = (\lambda - 1)/\lambda$, and Almansi's, $\epsilon_A = (\lambda^2 - 1)/2\lambda^2$. Each strain is plotted versus the percent deformation, $100 \Delta L/L_0$, as a colored curve along which the dots move.



Deformación de Hencky o deformación verdadera o natural

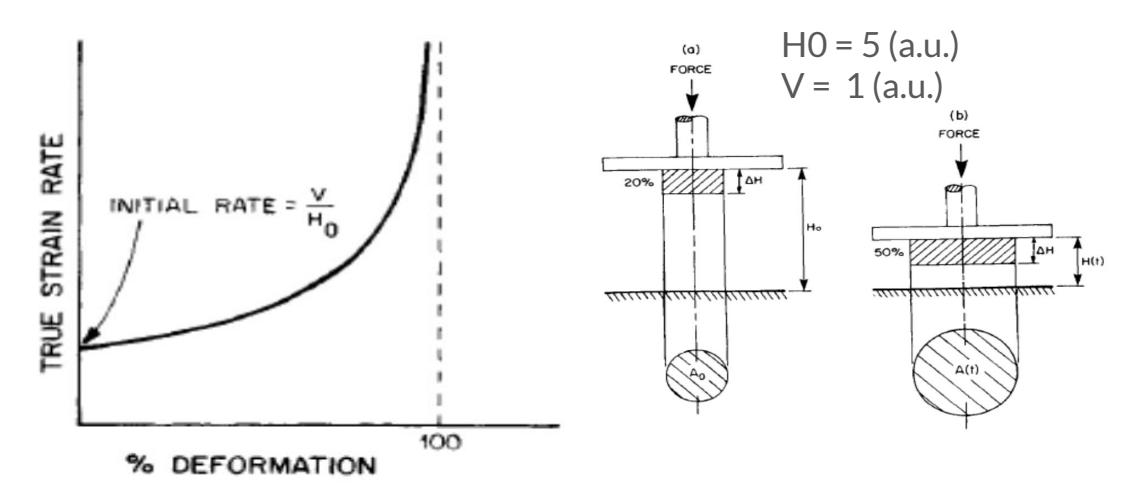
$$\epsilon_E = \frac{\Delta H}{H_0}$$
 \circ $\epsilon_E = \frac{\Delta H}{H_0} \times 100$

Donde H(t) ~ H0 $d\epsilon(t)/dt$ ~ dH(t)/H0 $\epsilon(t) = \Delta H(t)/H0$

$$\epsilon_T = \ln\left(\frac{H_0}{H_0 - \Delta H}\right)$$

Where H(t) \neq H0 (in compression) d ϵ (t)/dt = -dH(t)/H(t) ϵ (t) = Ln[H0/H(t)]

Velocidad constante no es lo mismo que deformación constante



$$\dot{\epsilon} = \frac{V}{H_0 - Vt}$$

Same displacement rate - V 20% per time unit 50% per time unit

Curvas esfuerzo-deformación aparentes y corregidas

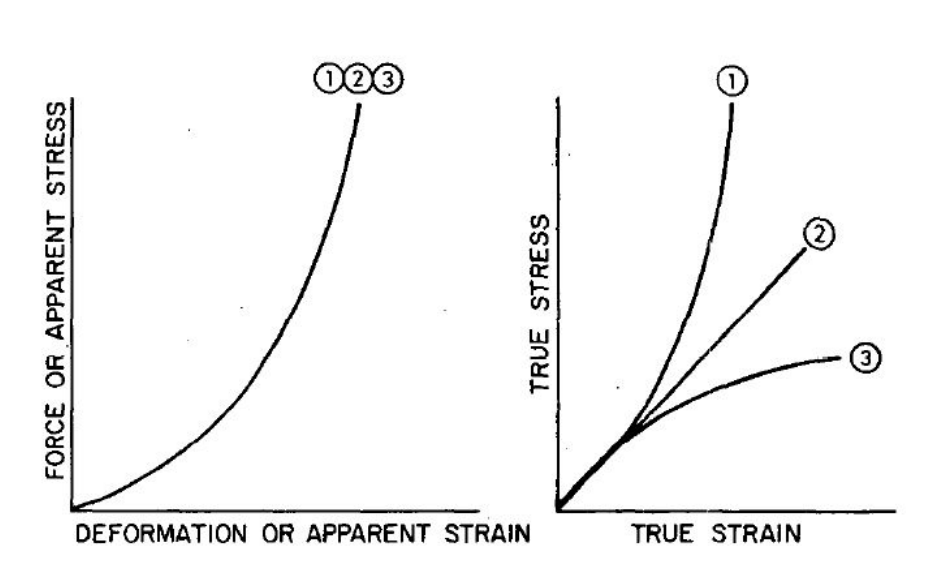


Fig. 1—Schematic representation of the difference between apparent and true compressive stress-strain relationships.

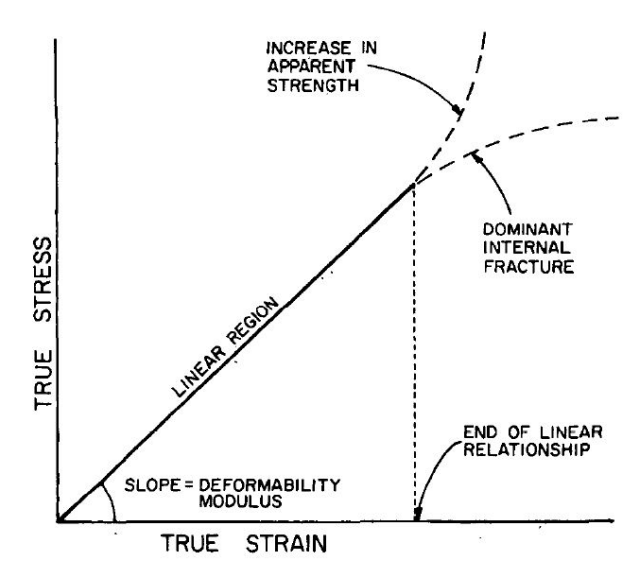
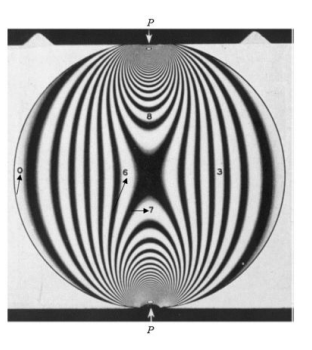
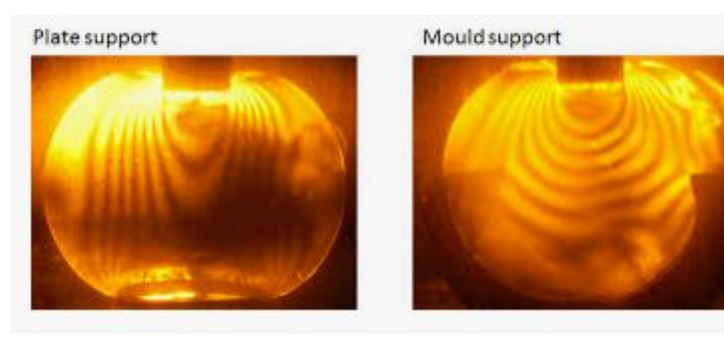


Fig. 2—Mechanical characterization of fish flesh by true stress-strain curves.

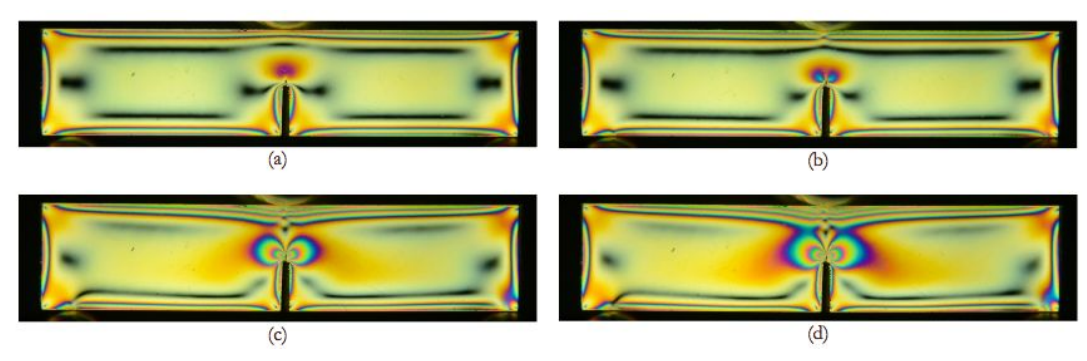
Esfuerzo de contacto



Compressed disk

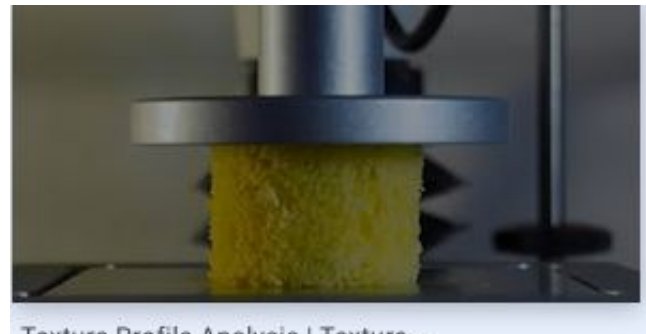


"Penetrometer"

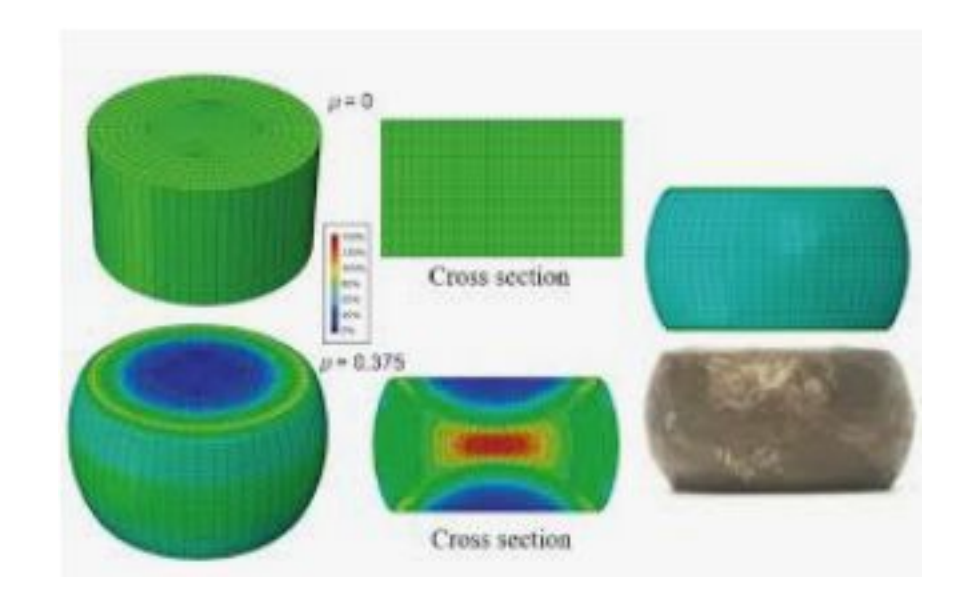


3 points loading (bending)

Incluso en muestras "sencillas"

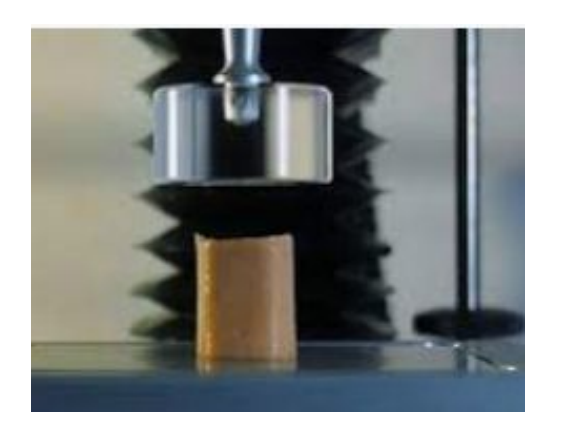


Texture Profile Analysis | Texture ...



Carga radial y carga axial







Efecto del diámetro de la muestra en la curva de fuerza desplazamiento

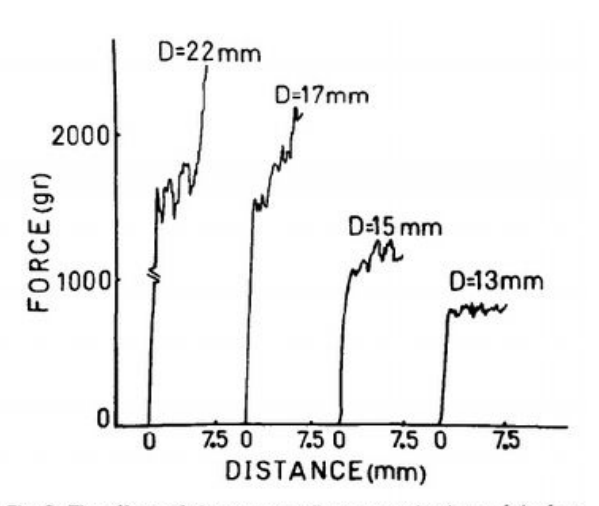


Fig. 6—The effects of the specimen diameter on the shape of the force deformation curve of a ripe watermelon.

Medidas instrumentales

MIT Denture Tenderometer

- 1950s



Métodos empíricos: Texturómetro

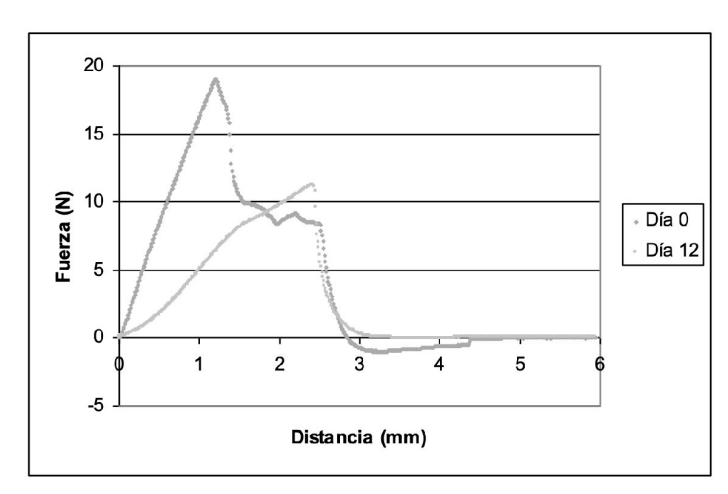
Diseñado para simular masticación. (Lo logra?)

Consiste en bajar y subir una sonda a una velocidad controlada midiendo la fuerza necesaria para lograr este desplazamiento una vez que la sonda entra en contacto con el alimento.



Texturómetro: Ensayos de compresión

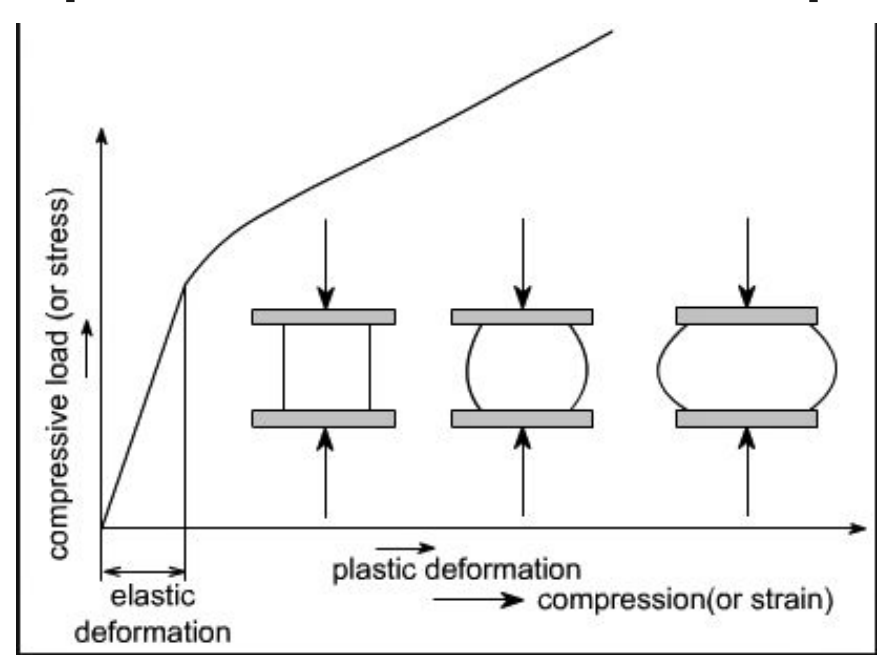
- Se utiliza en geles, frutas, quesos, entre otros



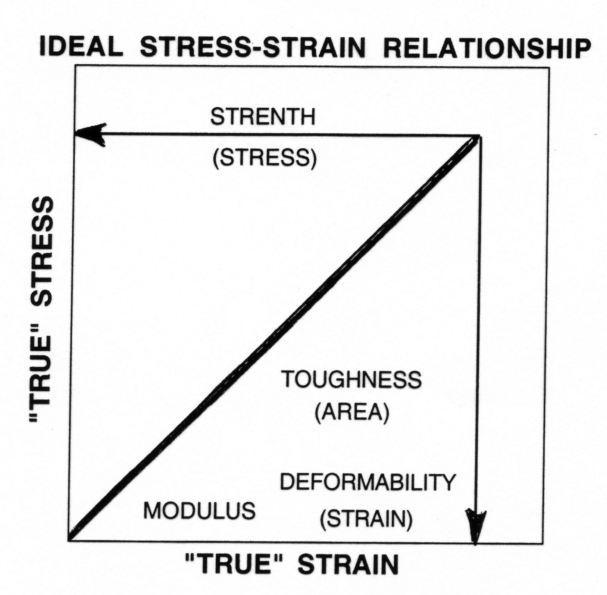




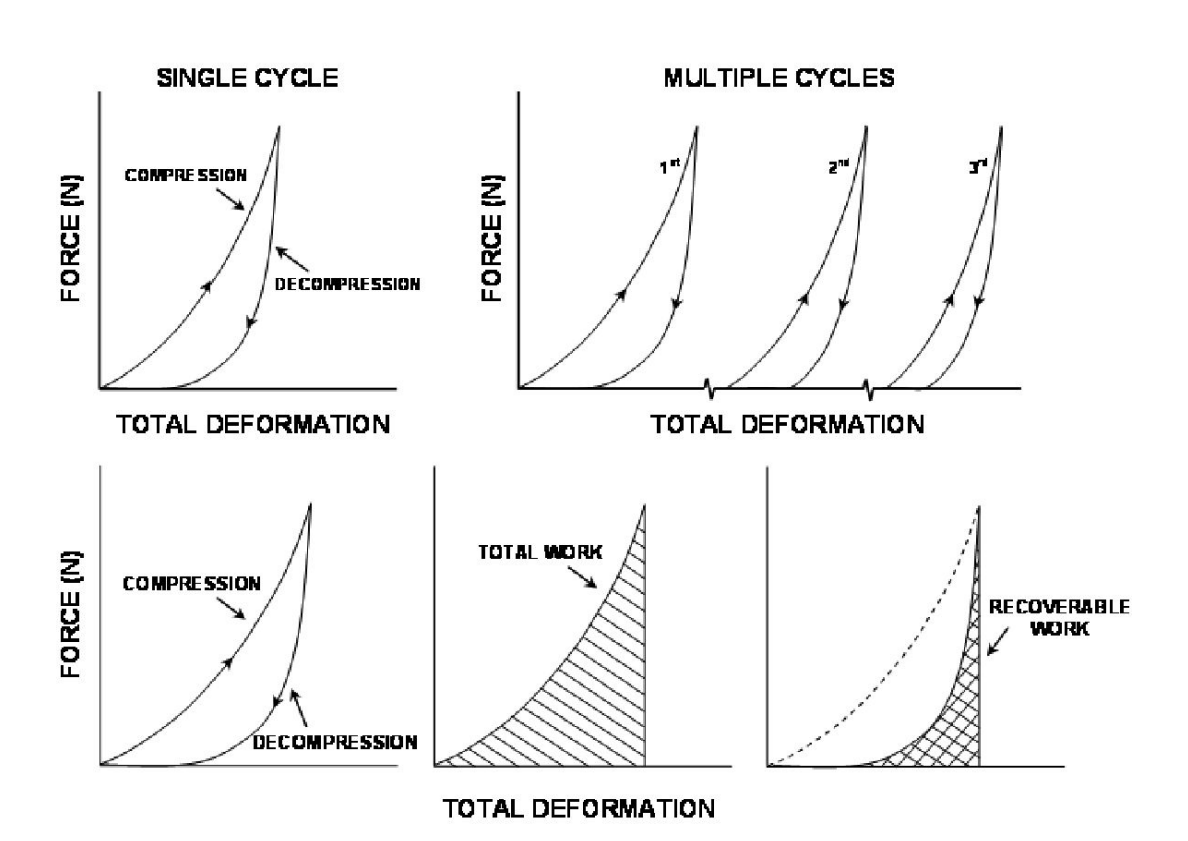
Curva de compresión de sólidos incompresibles



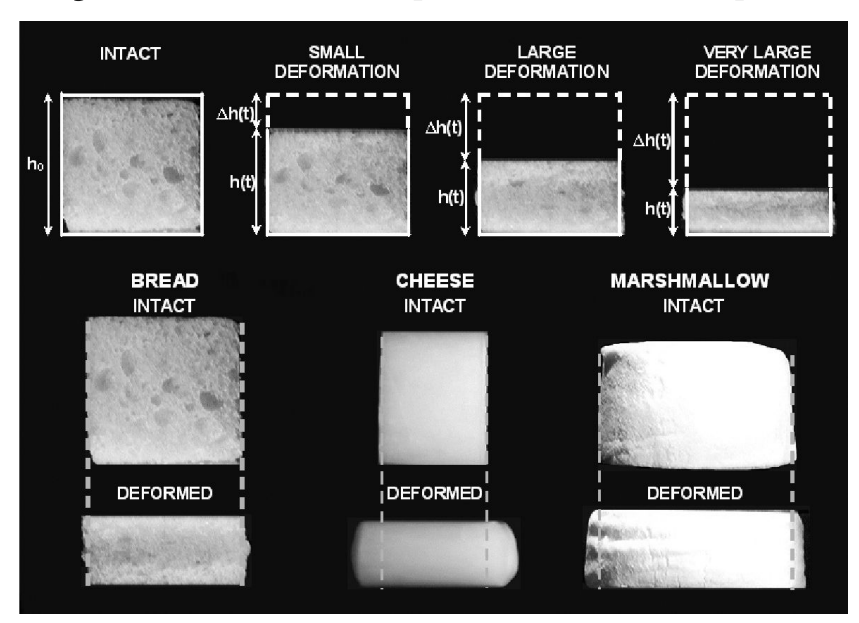
Relación esfuerzo-deformación clásica



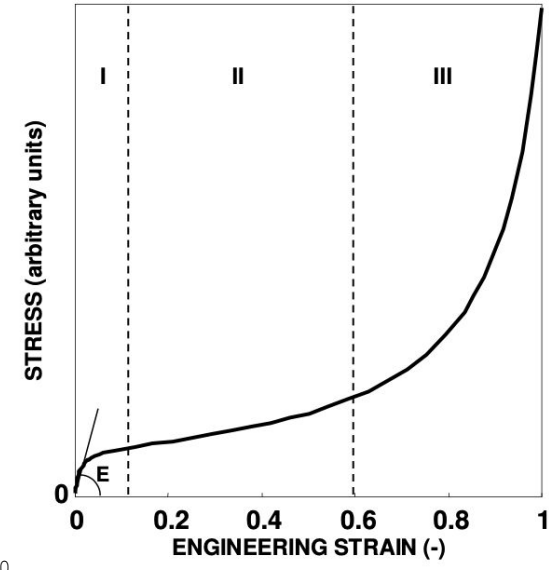
Ciclos de compresión descompresión



Ensayos de compresión: esponjas



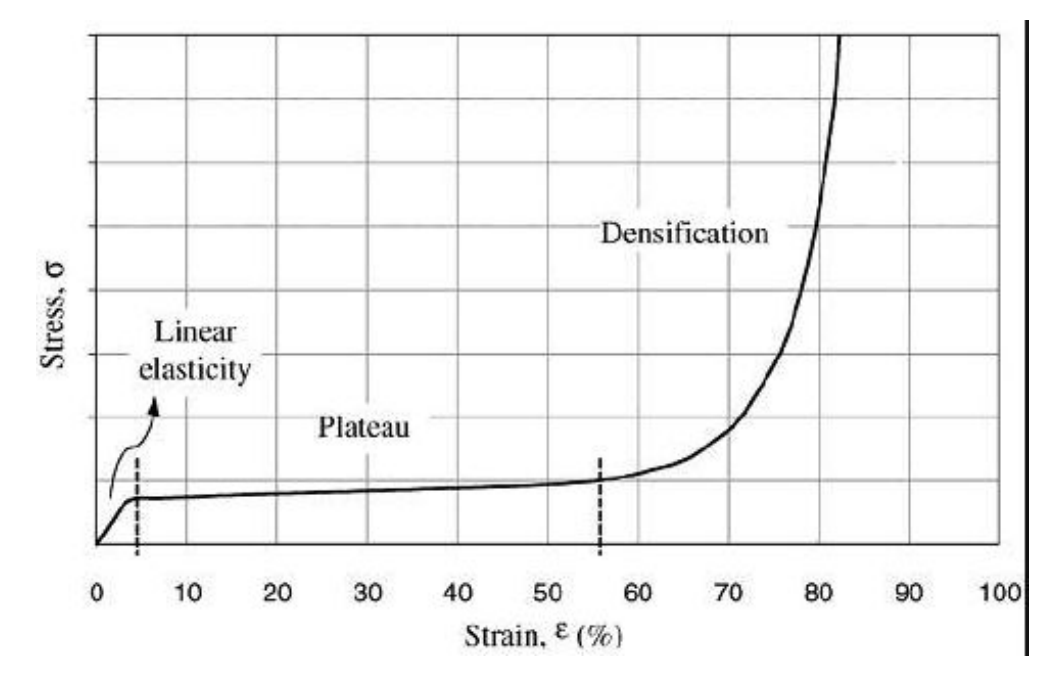




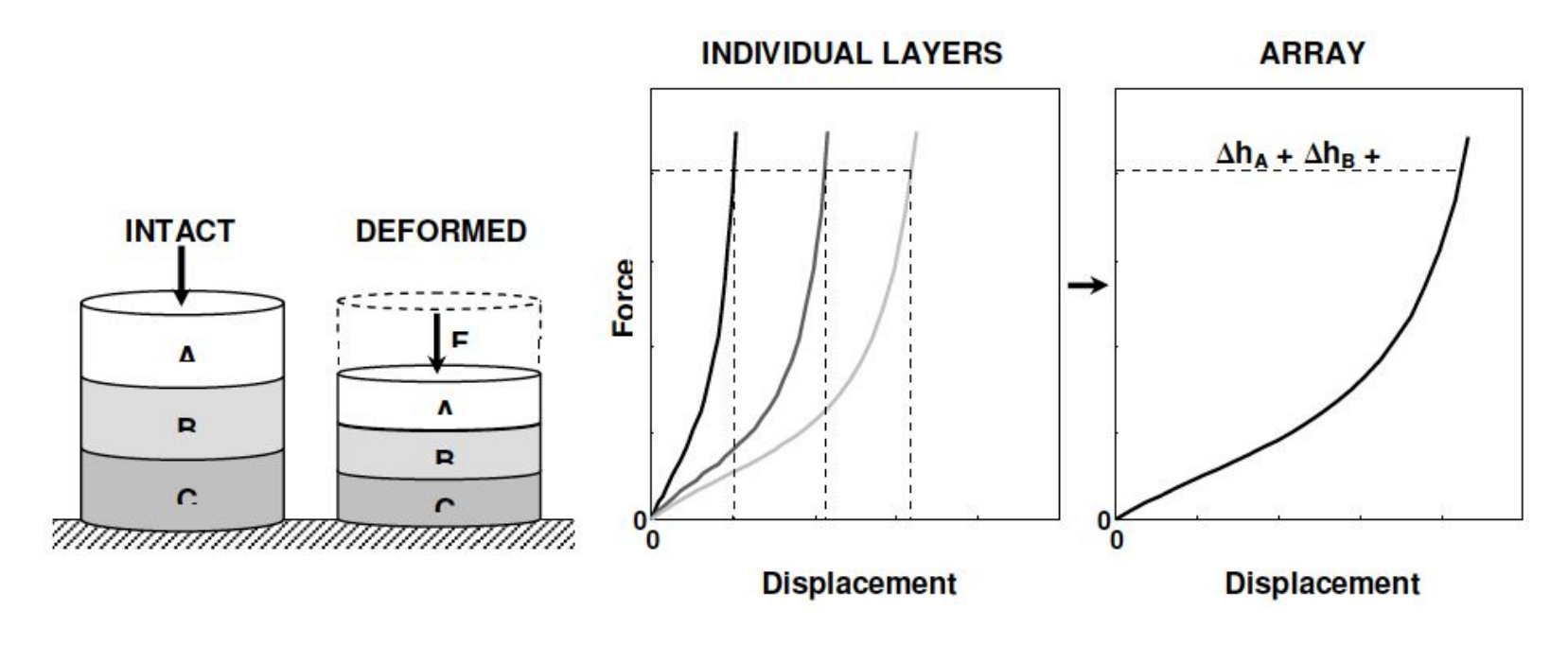
Corradini M.G., Peleg M. (2008) Solid Food Foams. In: Aguilera J.M., Lillford P.J. (eds) Food Materials Science. Springer, New York, NY. https://doi.org/10.1007/978-0-387-71947-4_10

Ensayos de compresión: esponjas

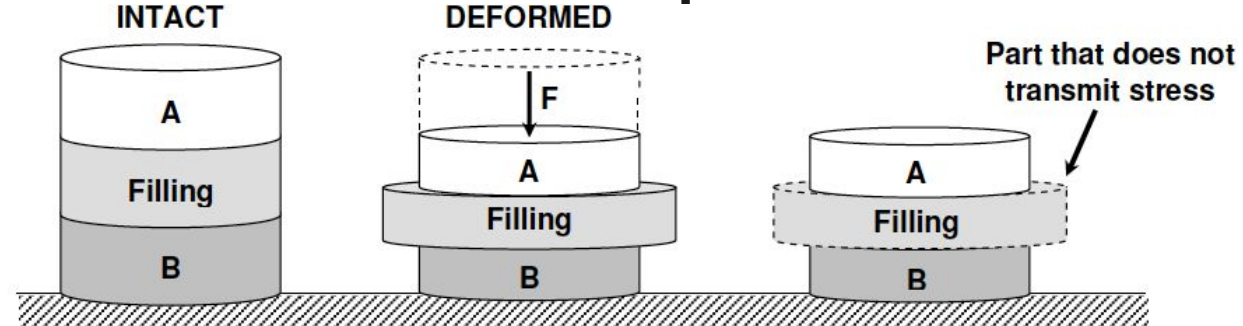
- Grandes deformaciones para bajos esfuerzos
- Por eso se usan para amortiguar



Esfuerzo-deformación para un arreglo de esponjas



Deformación de alimentos en capas INTACT DEFORMED





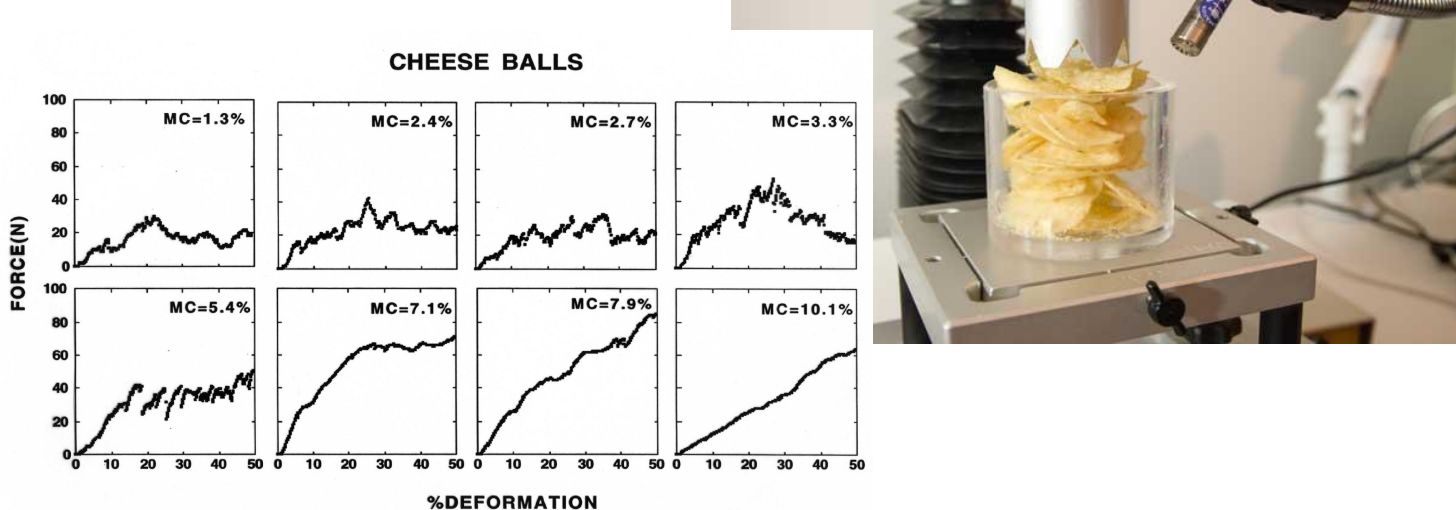






Ensayos de compresión: importancia de la humedad

 Los resultados dependen de la humedad de la muestra



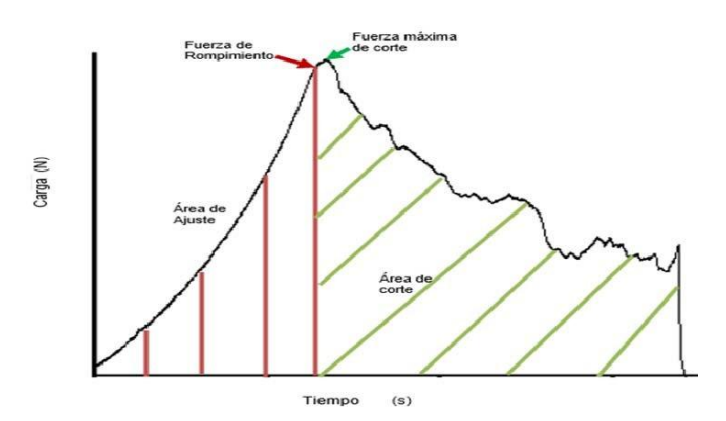
Texturómetro: Ensayos de corte

- Se utiliza para chocolate, galletitas, etc



Texturómetro: Ensayos Warner Bratzler

 Método para medida de terneza de carne





Qué estamos imitando?







Texturómetro: Otras geometrías







Texturómetro: Otras geometrías



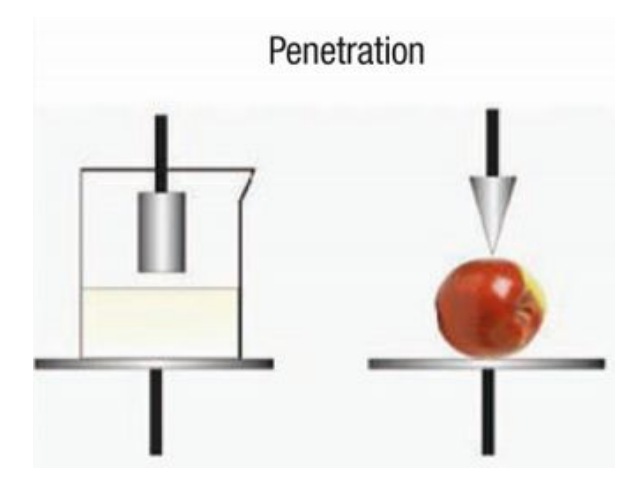




La textura del alimento realmente depende de la geometría de la sonda?







La textura del alimento realmente depende de la geometría de la sonda?





La textura del alimento realmente depende de la distancia entre las cuchillas?





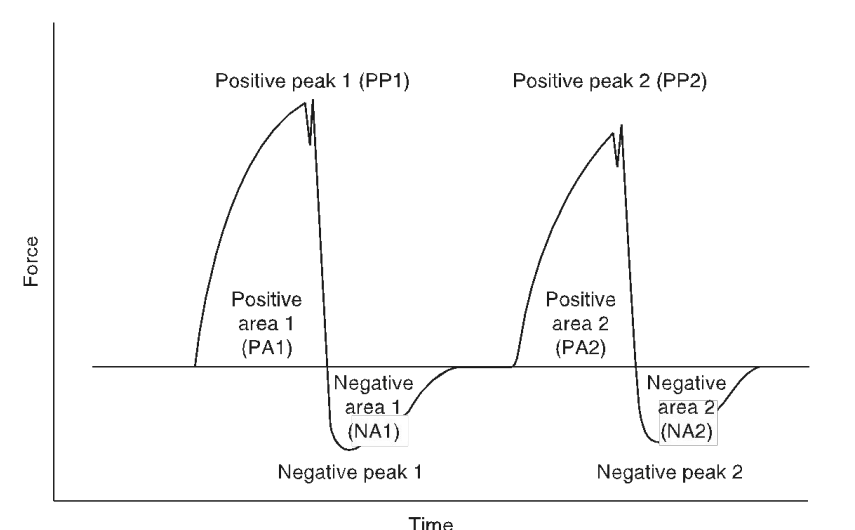


Texturómetro: Análisis de perfil de textura (TPA)

- Busca imitar la masticación
- Consiste en dos compresiones consecutivas
- Se miden picos de fuerza y áreas del gráfico, y se definen distintos parámetro en función de estas



Texturómetro: Análisis de perfil de textura (TPA)



Fracturabilidad: PA1

- Dureza: PP1

- Cohesividad: PA2/PA1

- Adhesividad: NA1

- Elasticidad: Altura que recupera el alimento entre ambas compresiones

Gomosidad: dureza x cohesividad

Masticabilidad: gomosidad x elasticidad

Area under the curve -dimension

Force - deformation

$$O = Work (Energy)$$

$$= stress = \frac{F}{L^2} = \frac{FL}{L^2L} = \frac{work}{volume}$$

RECORDATORIO IMPORTANTE

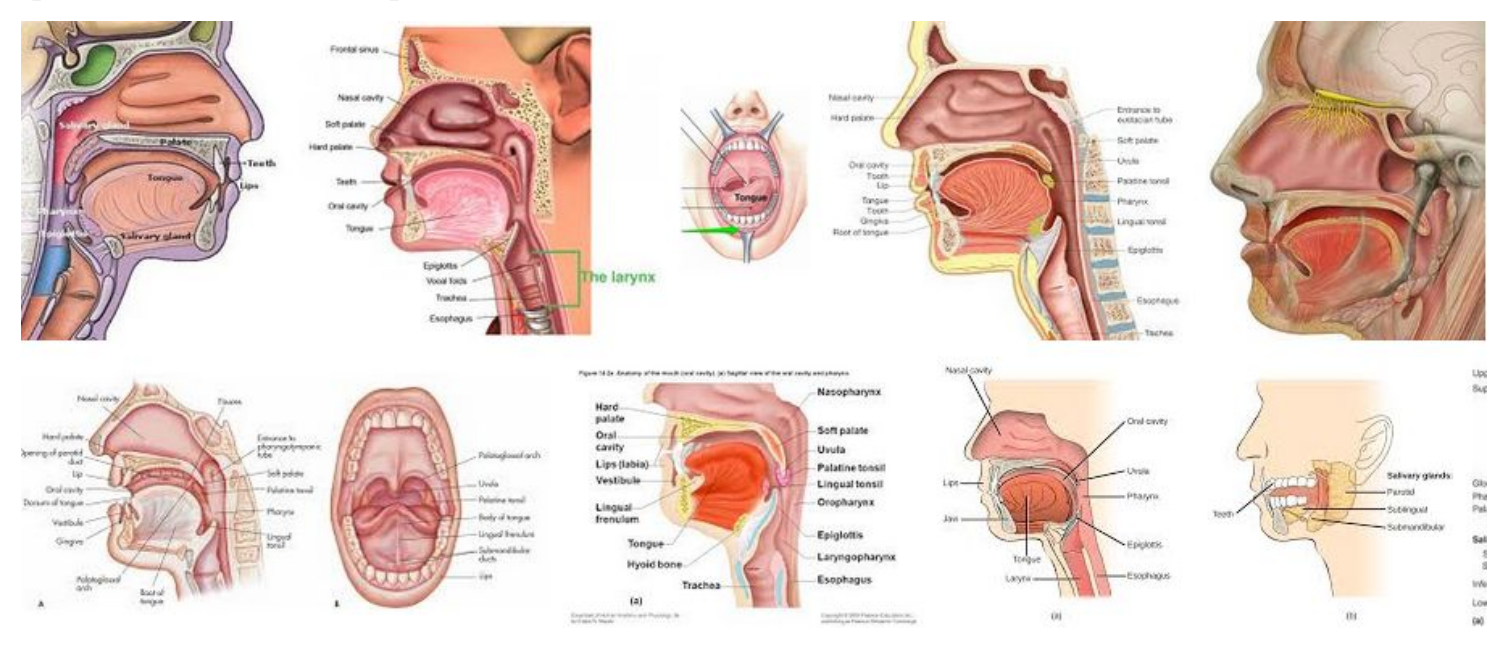
- Las medidas instrumentales siempre dan resultados
- Lo importante es determinar si estos resultados son significativos

Otras consideraciones

La geometría no es exactamente la misma



Ni por fuera ni por dentro



Entonces qué hacemos?

- Tratamos de encontrar una correlación entre las evaluaciones sensoriales y las medidas instrumentales
- Cómo se relacionan?

Asumiendo que esta correlación existe...

- Los instrumentos y los humanos tienen la misma sensibilidad?
- Podemos percibir propiedades de textura independientemente de atributos químicos, térmicos etc.?

Máquinas rígidas vs. máquinas blandas





La "máquina inversa"

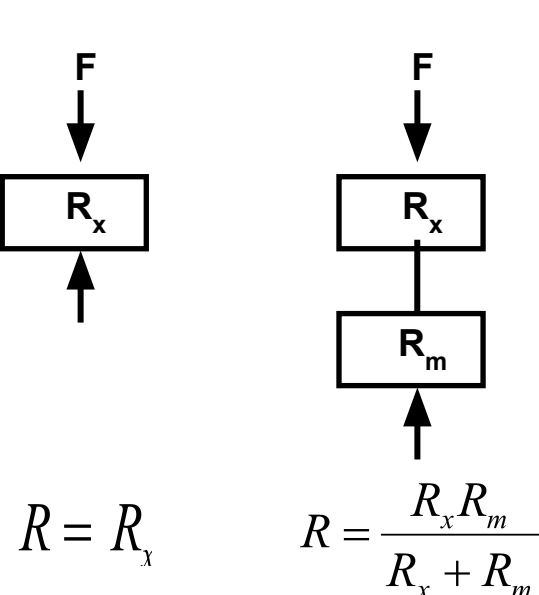
- Prácticamente toda la deformación tiene lugar en la máquina y no el el objeto medido



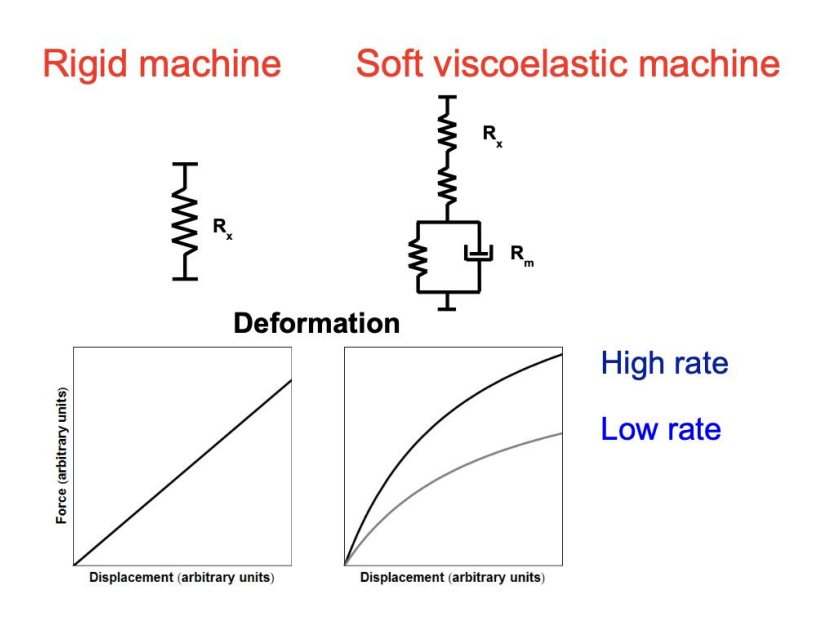
Máquinas rígidas vs. máquinas blandas



Soft Machine



Máquinas rígidas vs. máquinas blandas



Ejemplos de métodos no destructivos

Medidas no destructivas

- Es posible medir reología de forma no destructiva?
 - Tomografía
 - Viscosímetro vibracional
 - Ultrasonido

Coagulación



Prensado 🔌



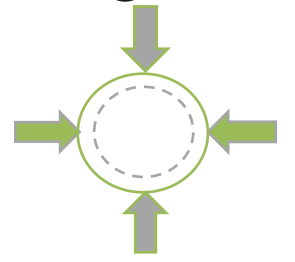


Maduración





- Por qué son importantes?
 - Afecta el rendimiento
 - Afecta la calidad del queso

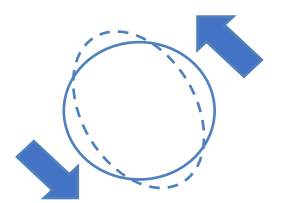


Módulo de compresión: K



Ondas de compresión

Módulo de corte: µ



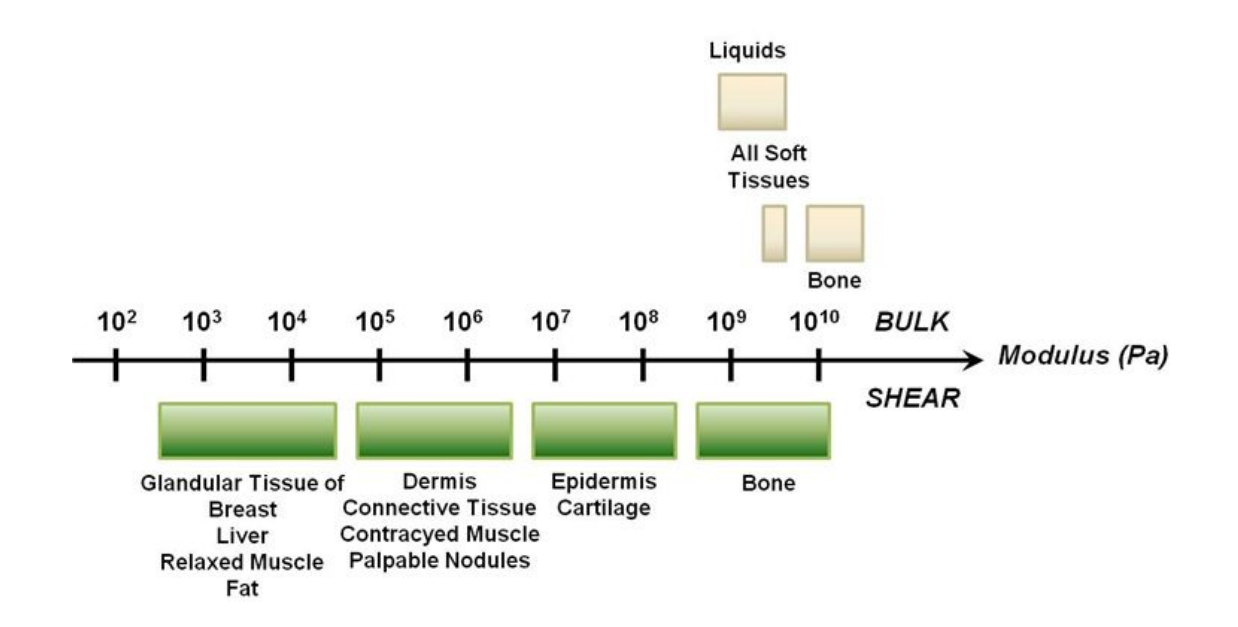


Ecografía

$$K = \rho v_{us}^{2}$$
~1500
m/s

Elastografía

$$\mu = \rho v_s^2$$
~pocos
m/s



Ecografía

$$K = \rho v_{us}^{2}$$
~1500 m/s

Elastografía

$$\mu = \rho v_s^2$$
~pocos m/s

- Podemos relacionar la velocidad y atenuación de las ondas de corte con los módulos de almacenamiento y pérdida del material

$$(G',G'') \qquad (V_S,\alpha)$$

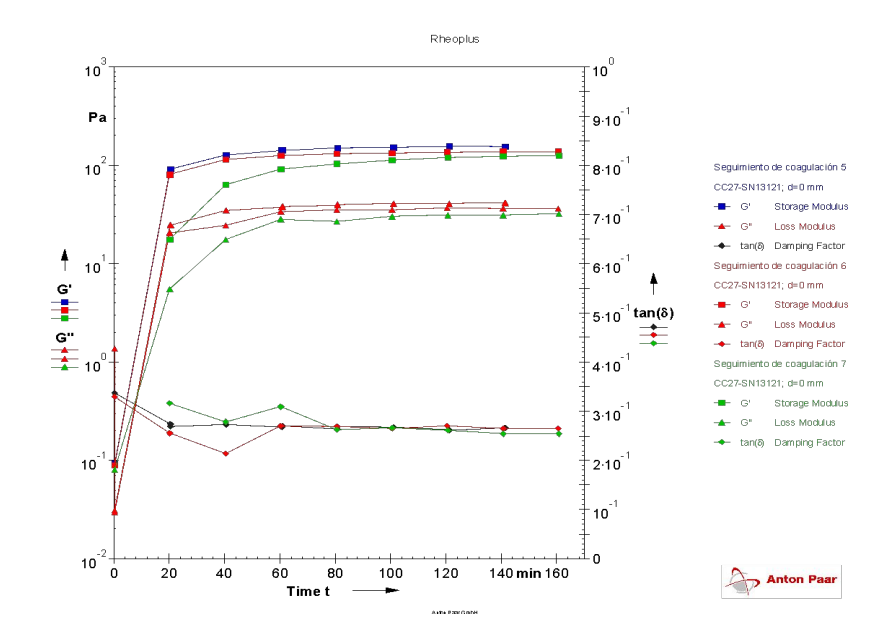
$$\sqrt{\frac{2}{1-\left(\frac{\alpha vs}{\omega}\right)^2}-1\right)^2-1}$$

$$\sqrt{\frac{2}{1-\left(\frac{\alpha vs}{\omega}\right)^2}\left[1-\left(\frac{\alpha vs}{\omega}\right)^2\right]} \times \left(\frac{2}{1-\left(\frac{\alpha vs}{\omega}\right)^2}-1\right)^2-1$$

$$\sqrt{\frac{2}{1-\left(\frac{\alpha vs}{\omega}\right)^2}-1}$$

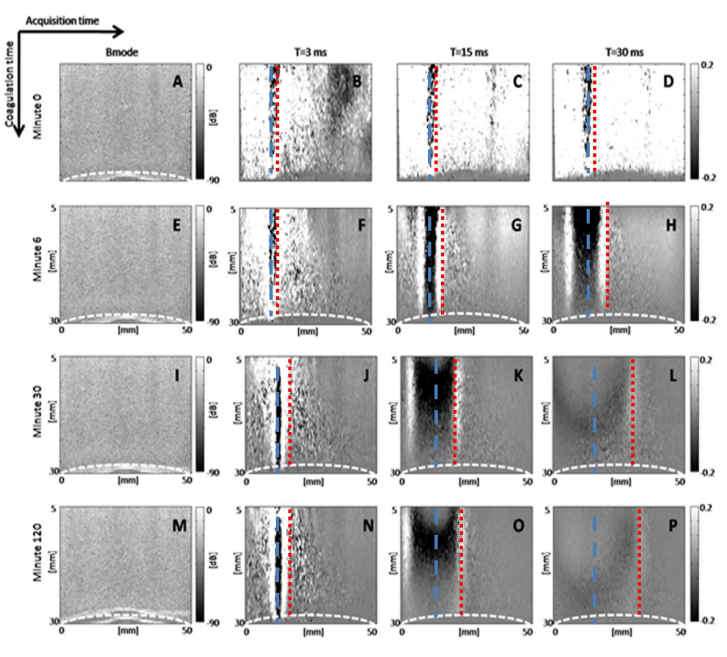
$$\sqrt{\frac{2}{1-\left(\frac{\alpha vs}{\omega}\right)^2}-1}$$

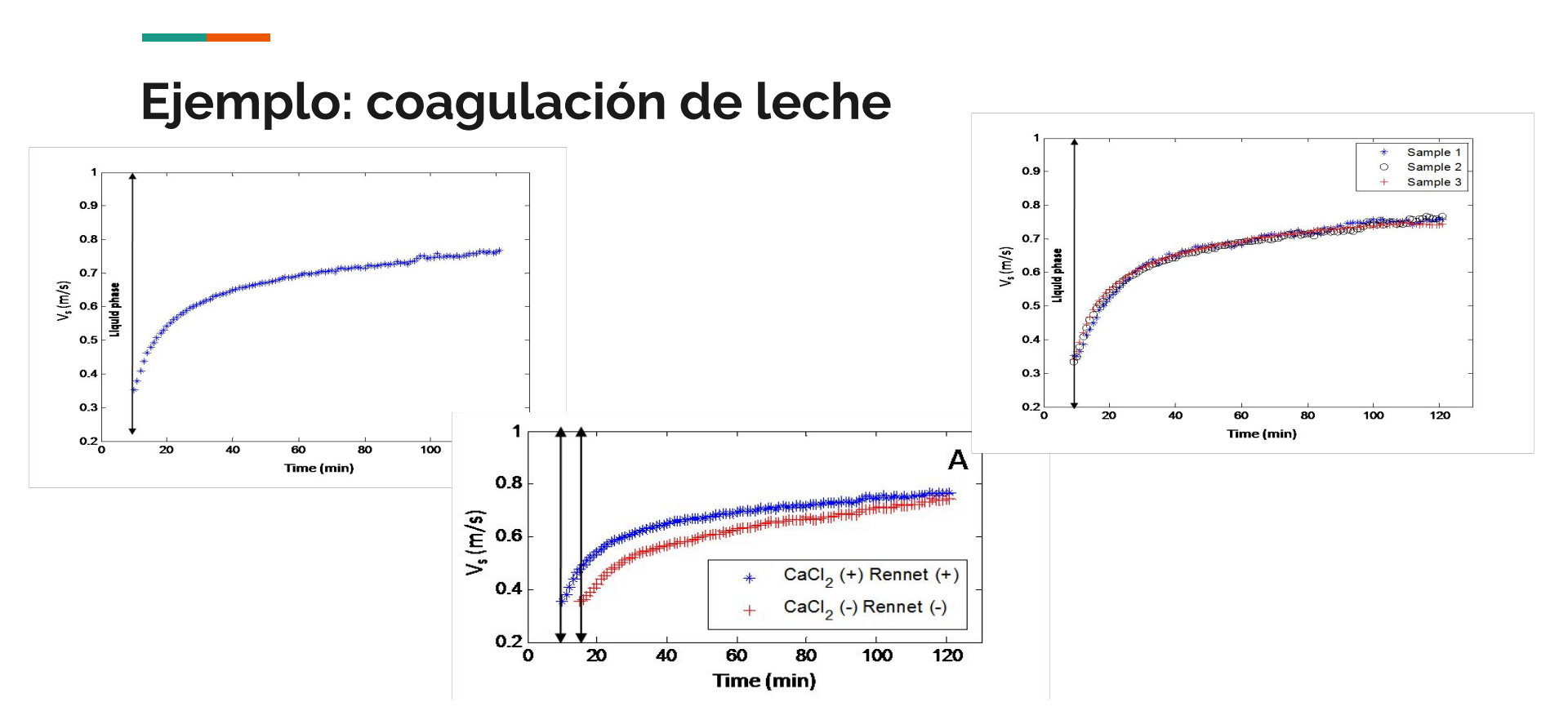




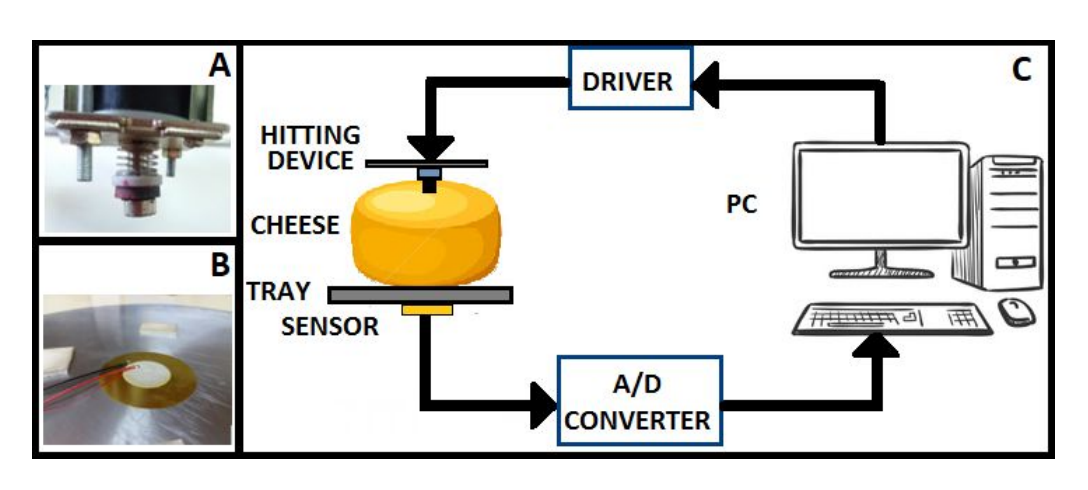


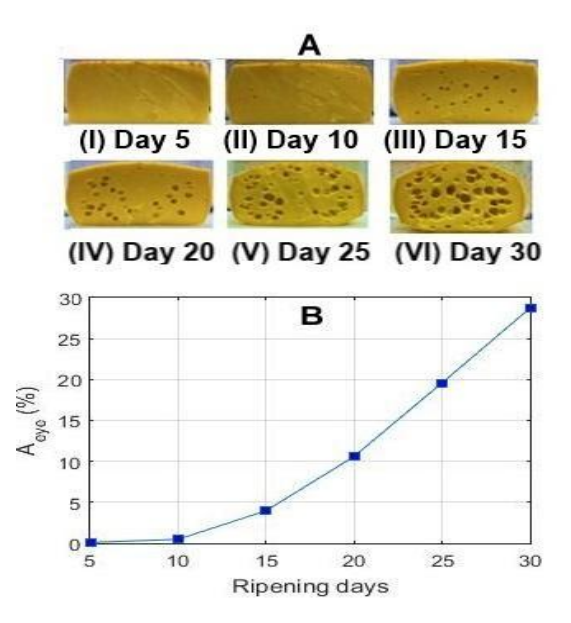






Ejemplo: maduración queso





Ejemplo: maduración queso

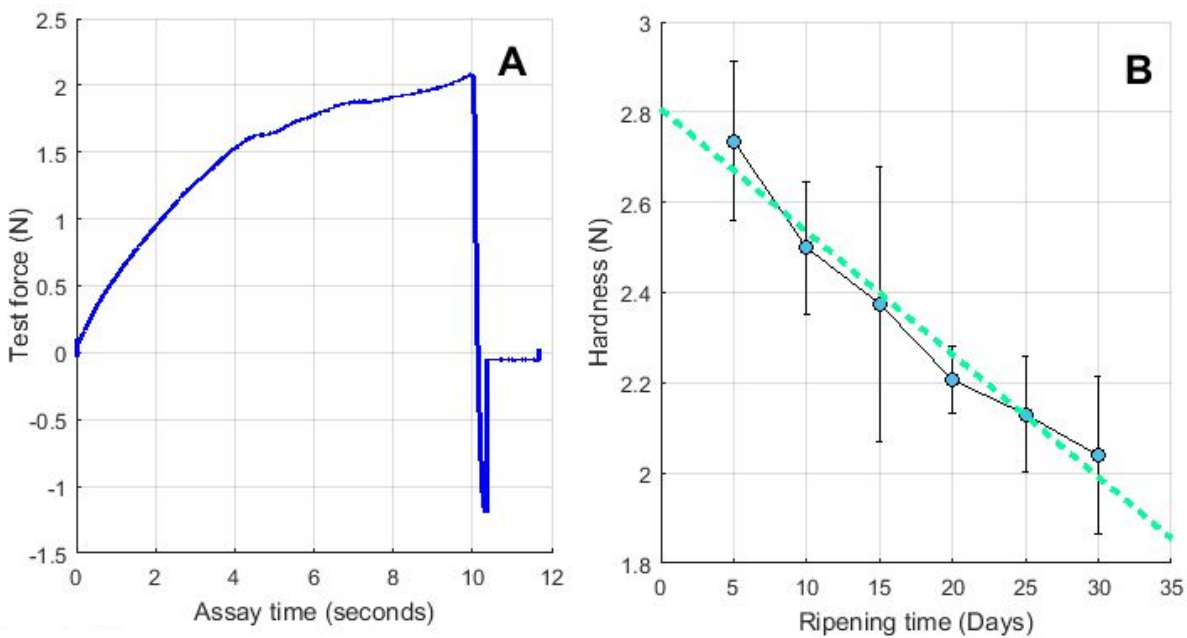
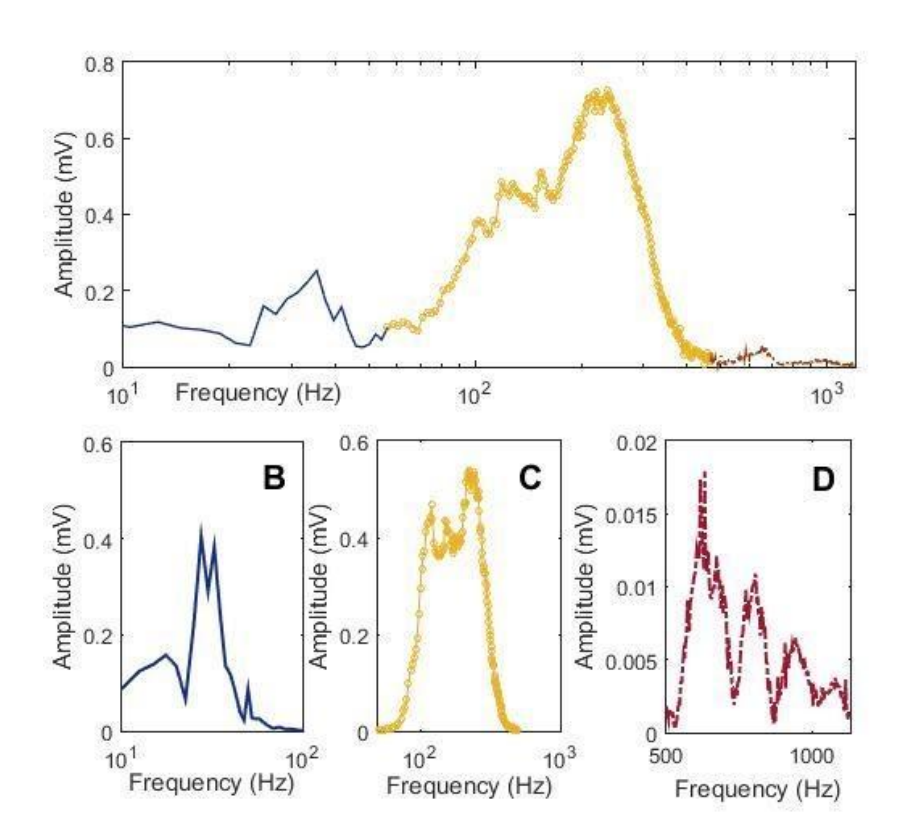


Figure 4. Texture measurement and evolution over ripening time. (A) Penetration test curve for a cheese sample at day 30. (B) Hardness evolution over ripening time. In continuous line and circular markers (-O-) is the experimental data and in discontinuous line (---) is the linear regression that best fit the data. Error bars correspond to standard deviation of the measurements.

Ejemplo: maduración queso



Ejemplo: maduración queso

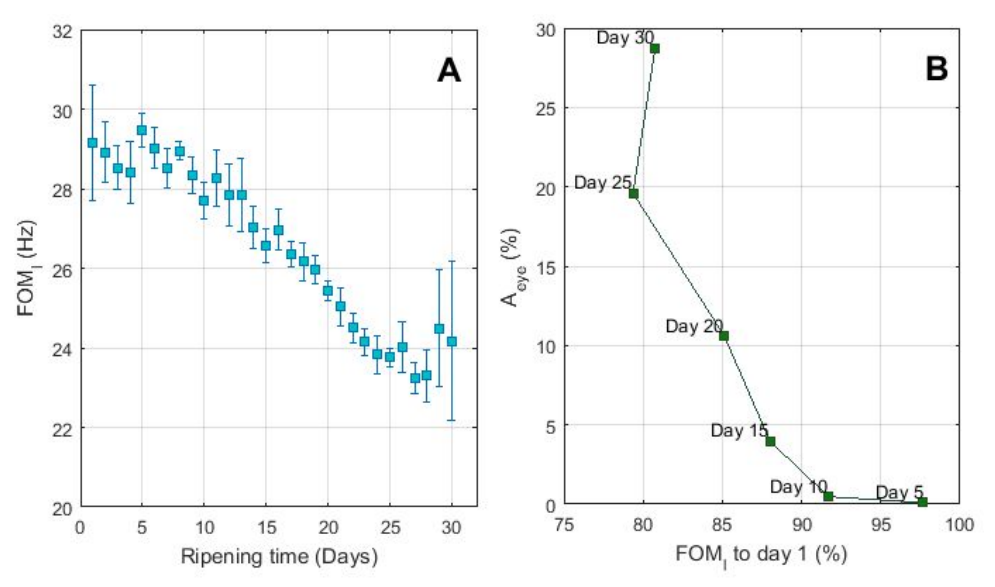


Figure 6. FOM results and relationship with eye area. (A) Squares (■): FOM results for low frequencies during ripening. Error bars correspond to standard deviation of the measurements. (B) Squares (■): eye area as function of normalized FOM for low band. Continuous line (–): tendency line connecting data points.

Introducción al laboratorio

Laboratorio 1

- Cuándo?
 - 28/03 de 18 a 20 hs
- Dónde?
 - Laboratorio de TAPA 5to. piso Facultad de Ingeniería
- Qué?
- Medidas en texturómetro de:
 - Frutas
 - Snacks
 - Panes